

Fig. 1

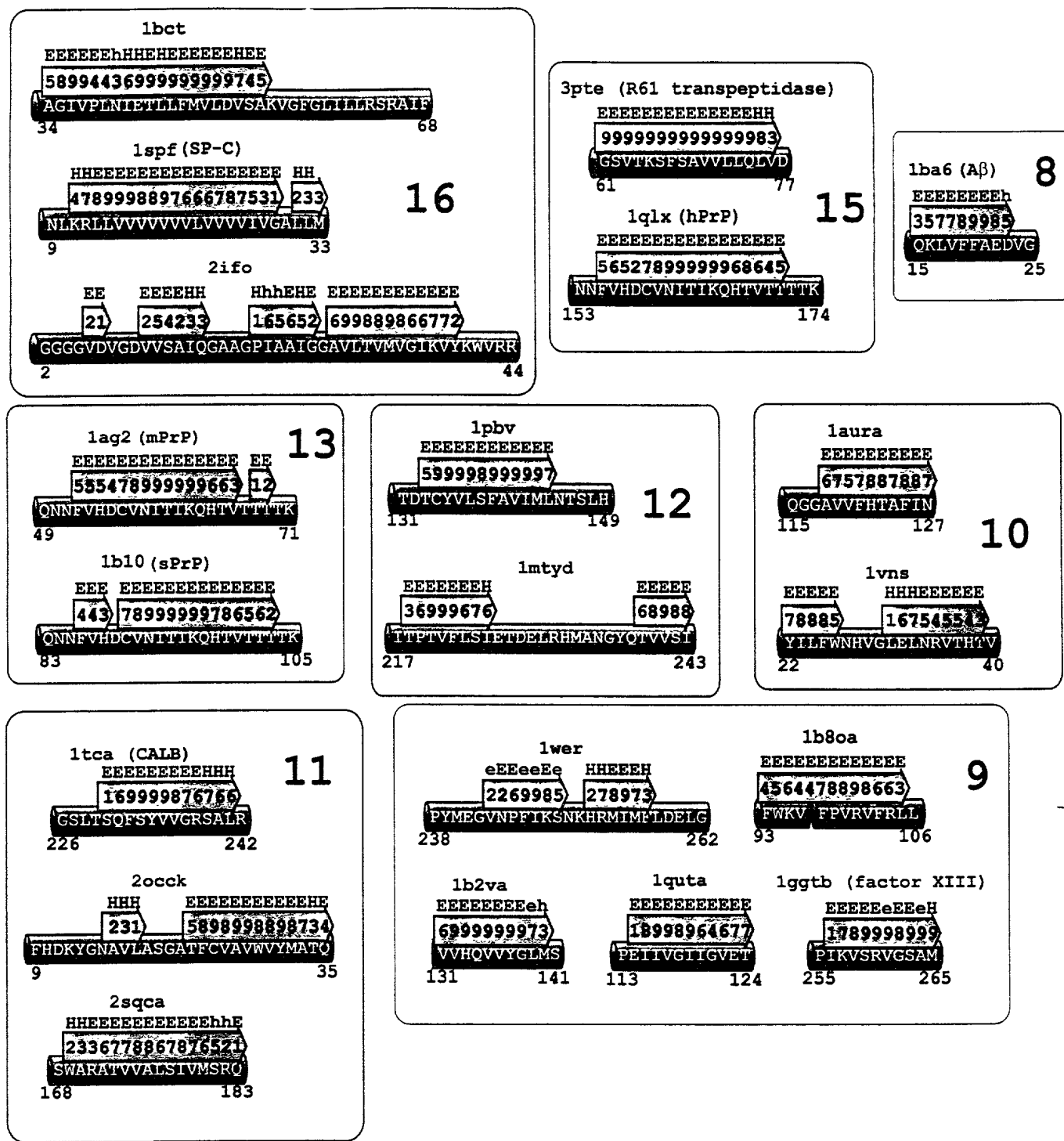


Fig. 2

[illegible]

33

3

[illegible]

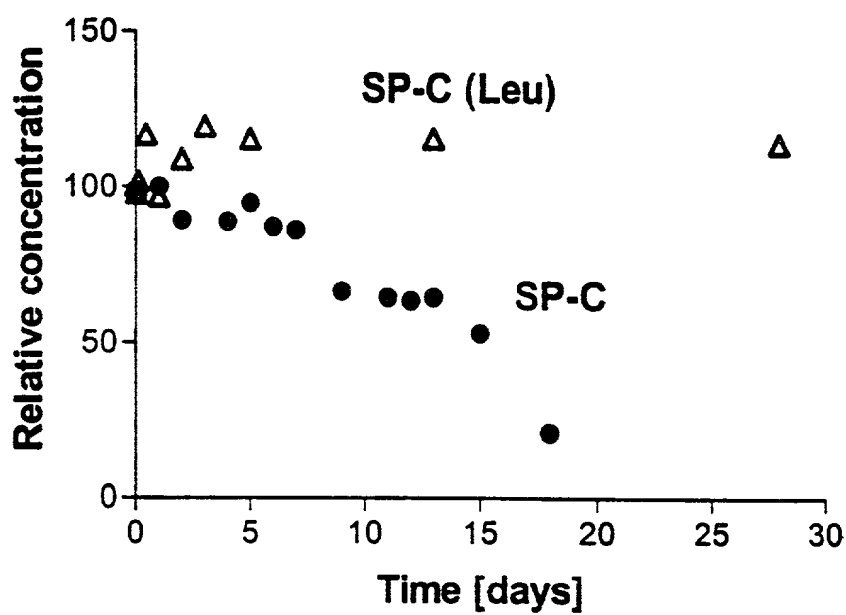


Fig. 4

Aß(1-28)
EEEEEEEE
36689976
QKLVFFAEDVG
15 25

Aß(1-28) (K16A, L17A, F20A)

HHHHHHH
7664224
QAAVFAEDVG
15 25

Fig. 5

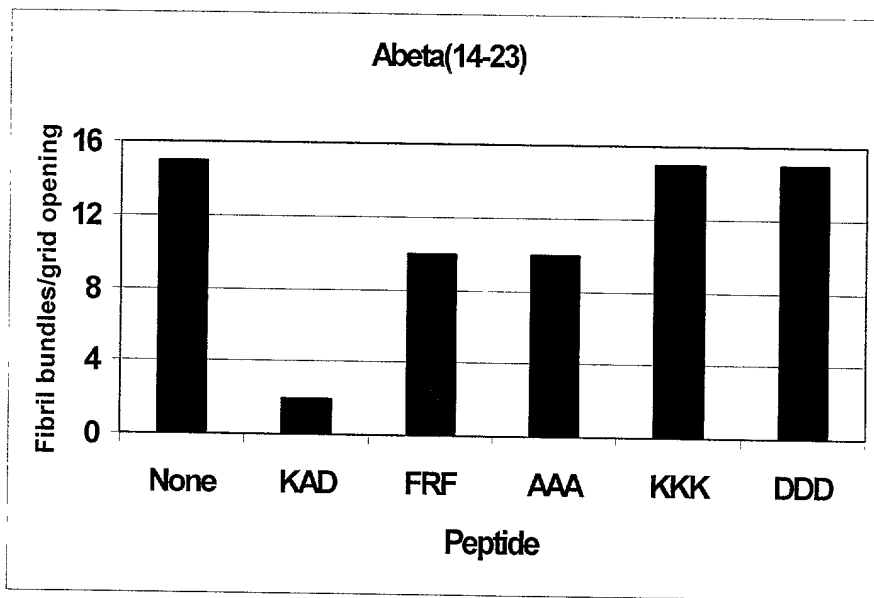


Fig. 6A

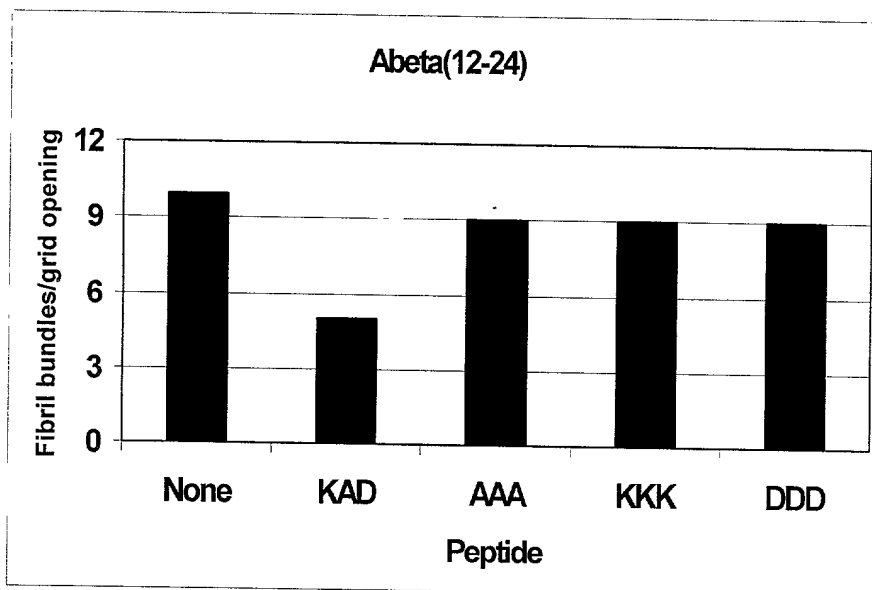


Fig. 6B

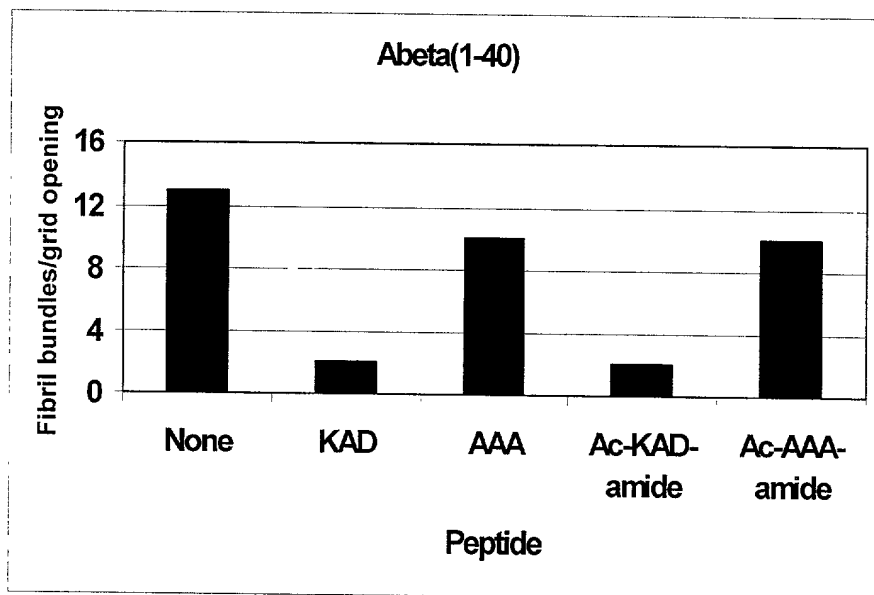


Fig. 6C

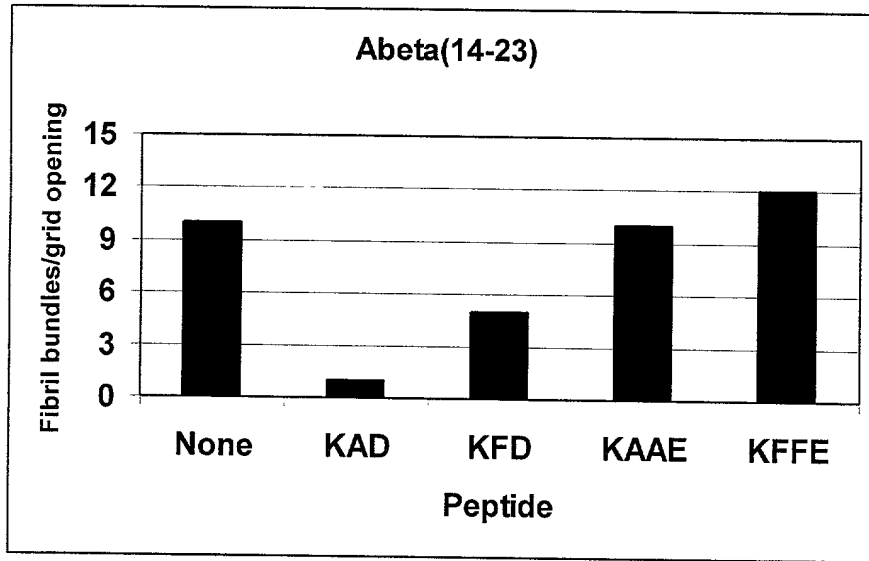


Fig. 7

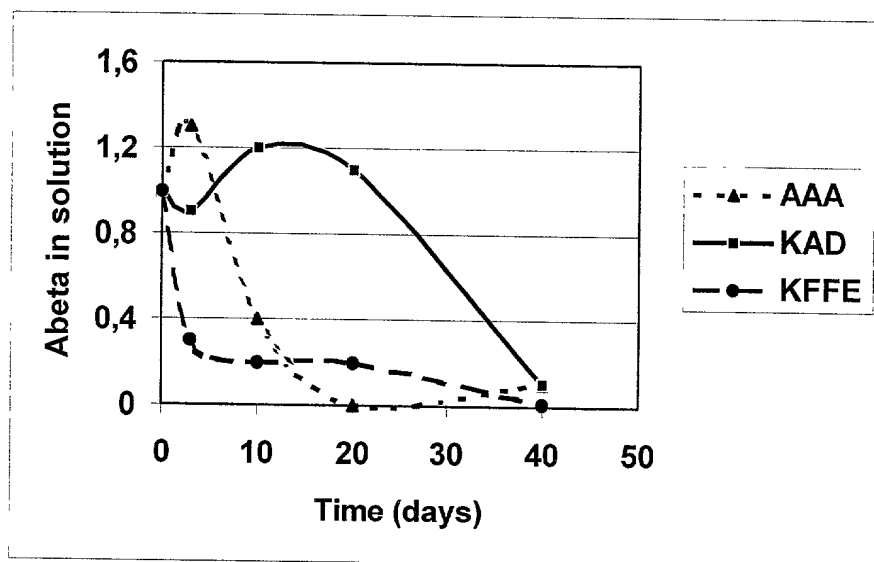
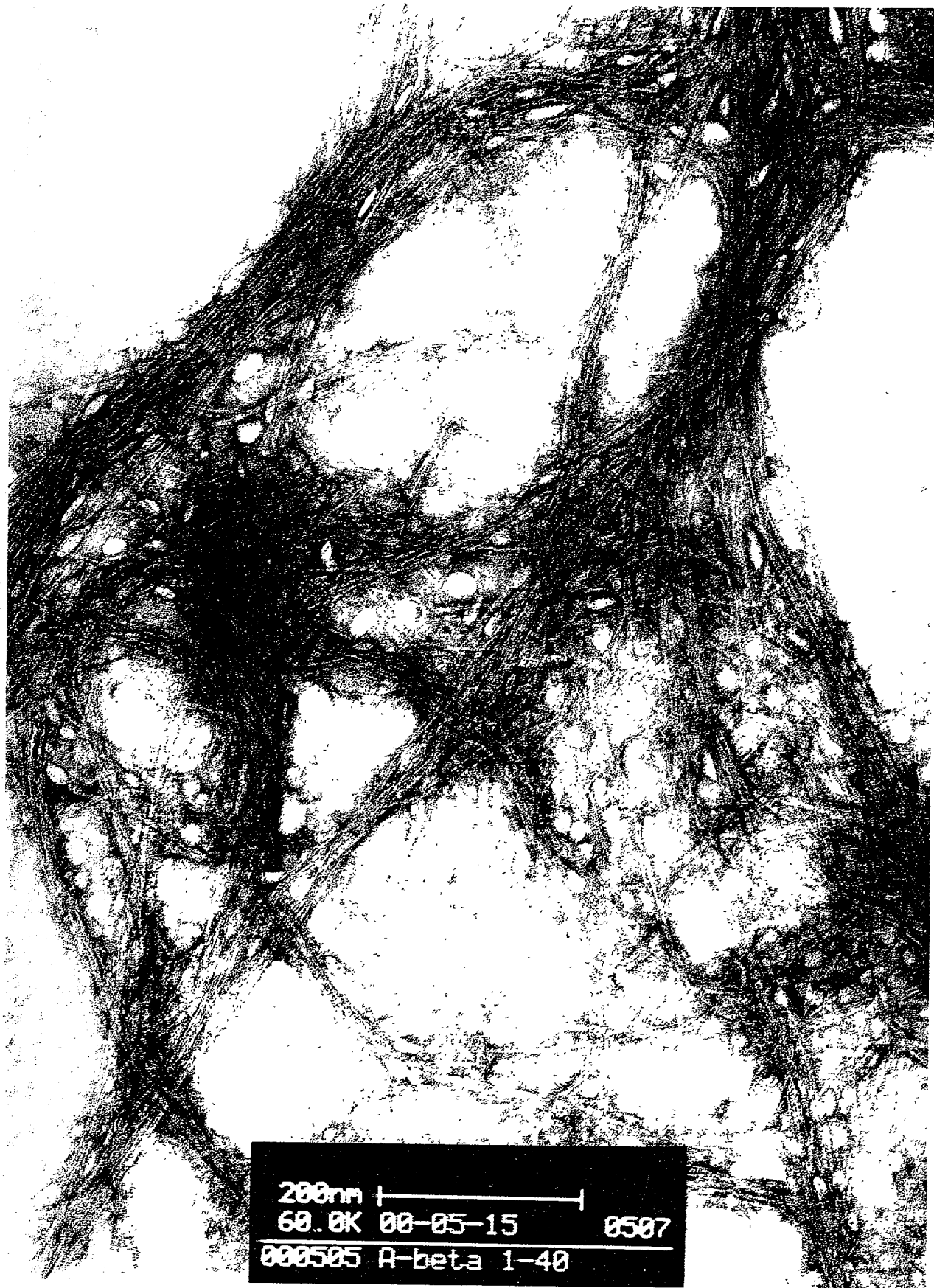


Fig. 8

0988342-11901



200nm |—————|
60.0K 00-05-15 0507
000505 A-beta 1-40

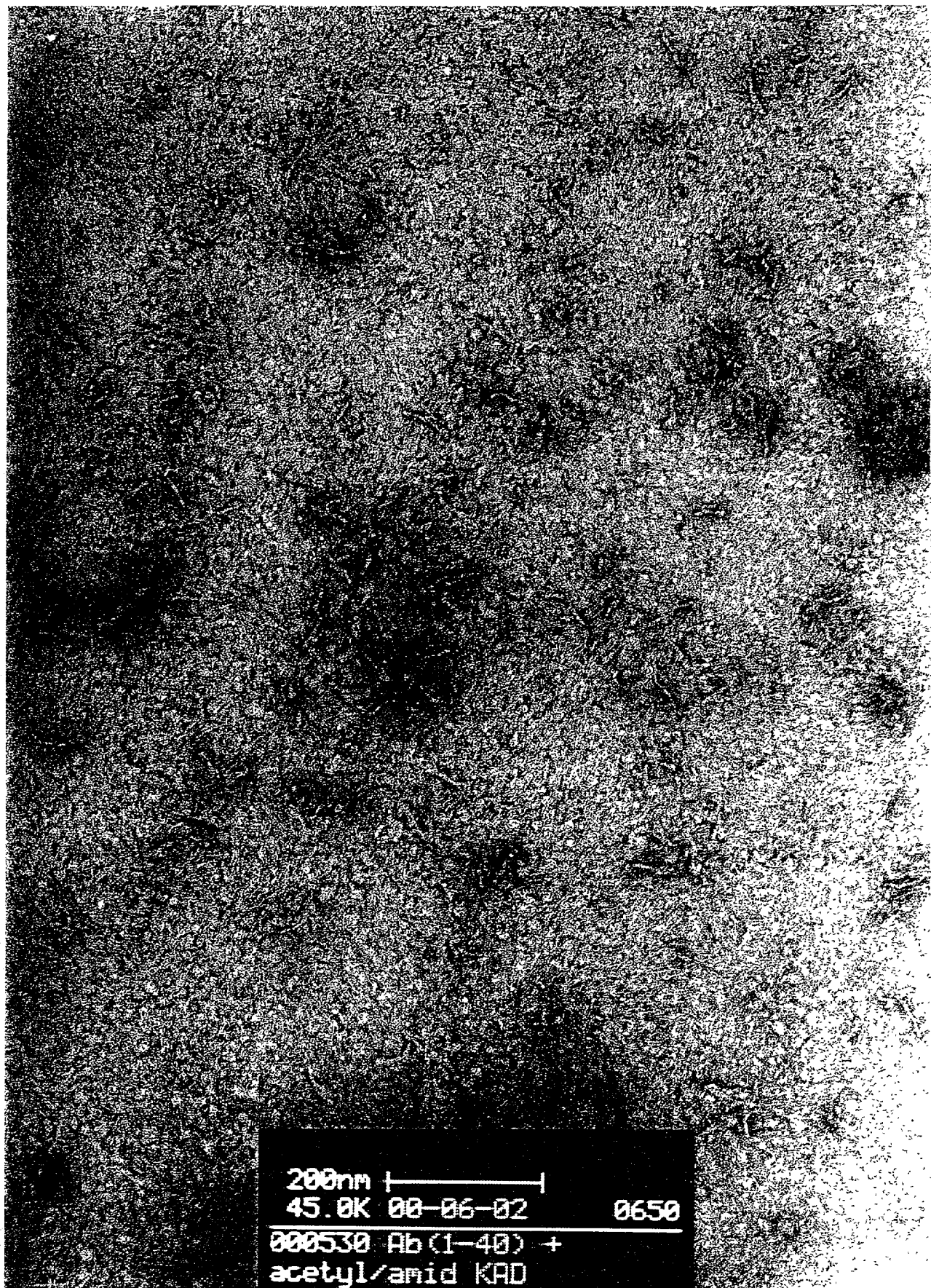
Fig. 9A

TOPP 2488660



200nm |————|
45.0K 00-06-02 0638
000530 Ab (1-40) + KAD

Fig. 9B



200nm |—————|
 45.0K 00-06-02 0650
 000530 Ab (1-40) +
 acetyl/amid KAD

200nm |-----|
45.0K 00-06-02 0650
000530 Ab (1-40) +
acetyl/amid KAD

Fig. 9C

0998842-11901

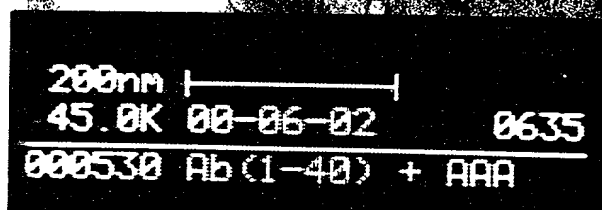
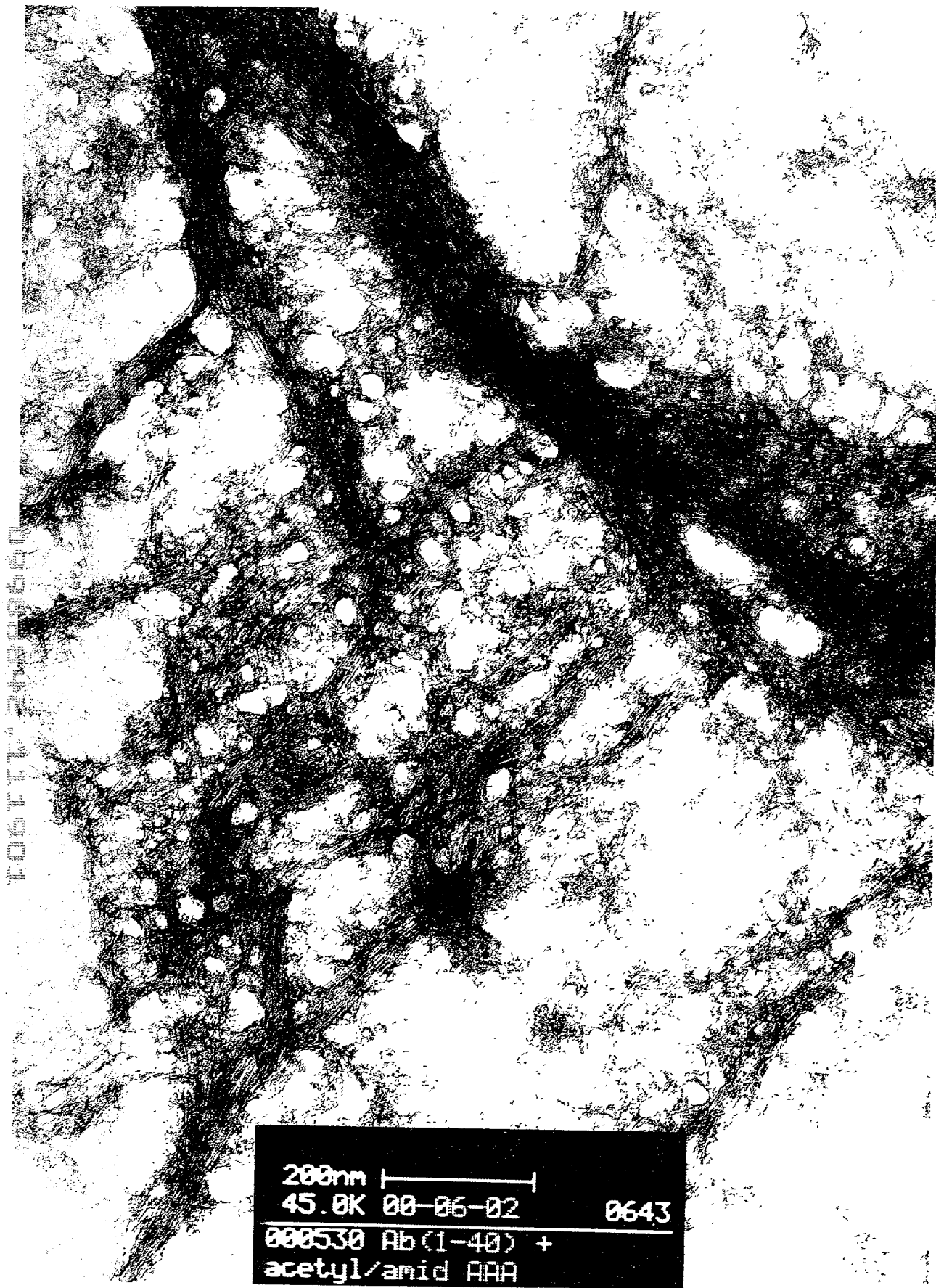


Fig. 9D

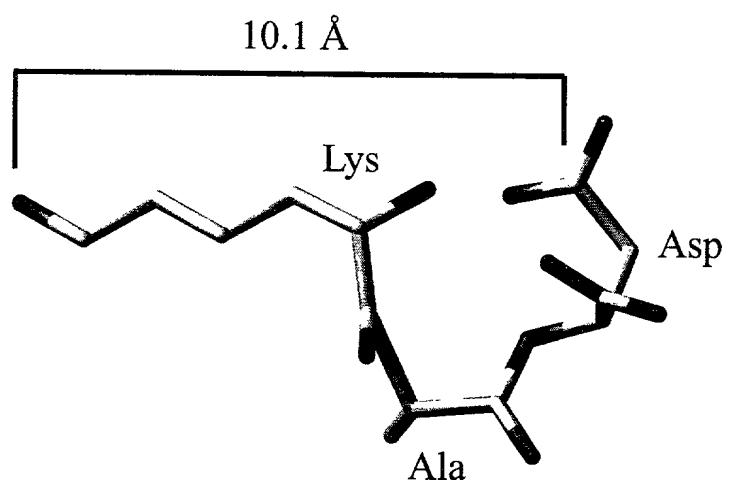


200nm |-----|
45.0K 00-06-02 0643

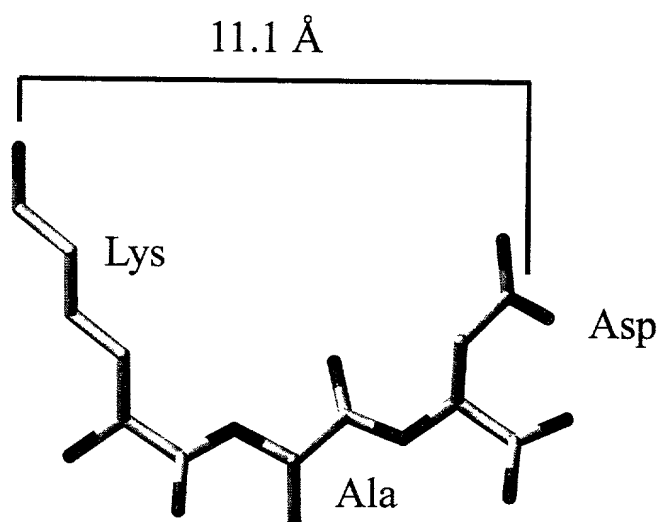
000530 Ab (1-40) +
acetyl/amid AAA

Fig. 9E

KAD



KAD



KFFE

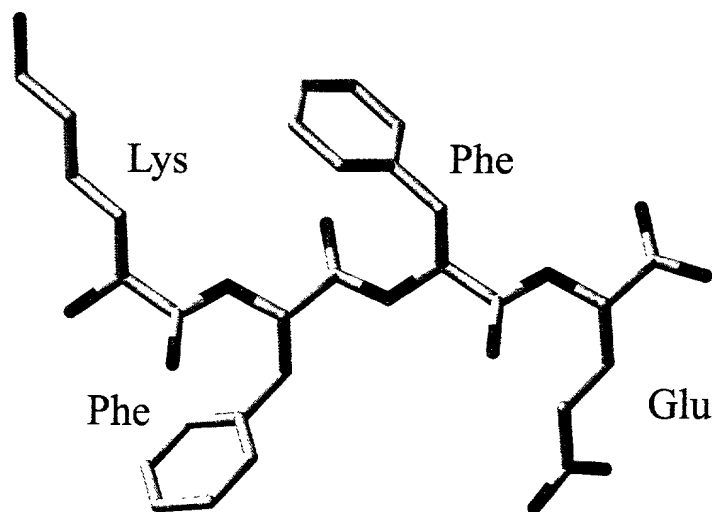


Fig. 10

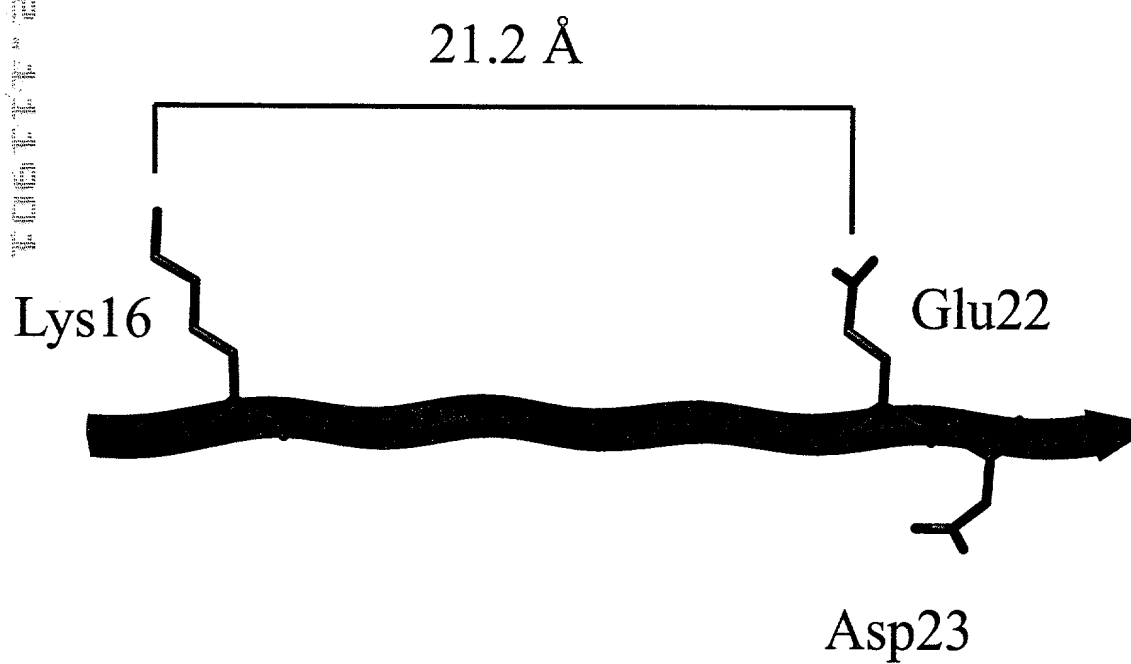
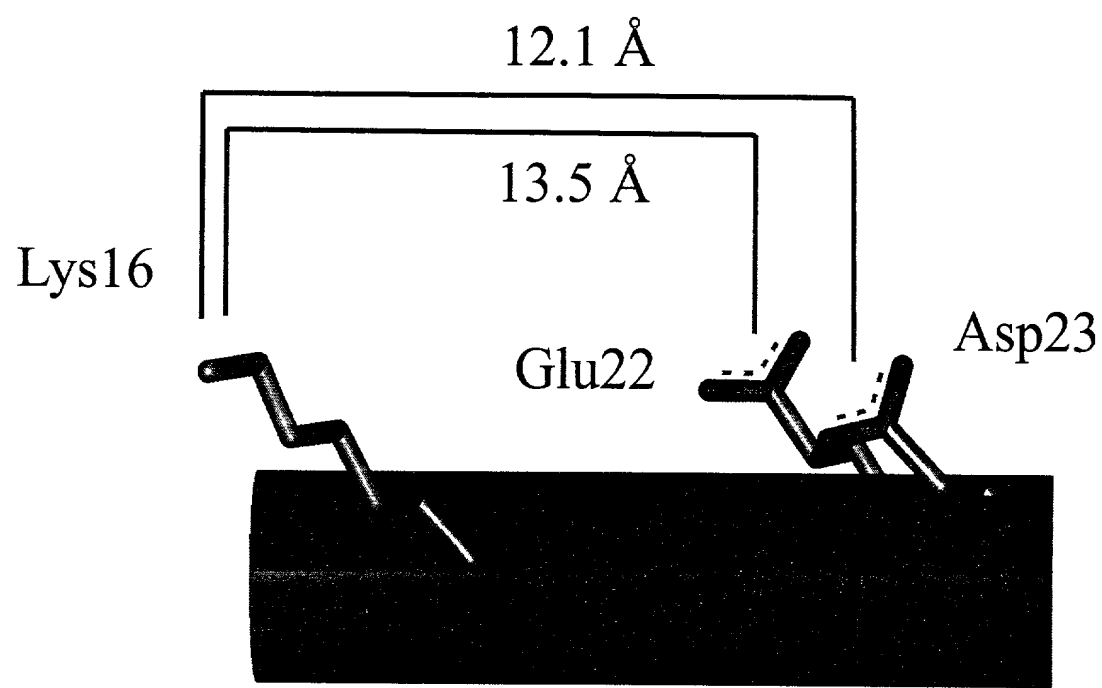


Fig. 11

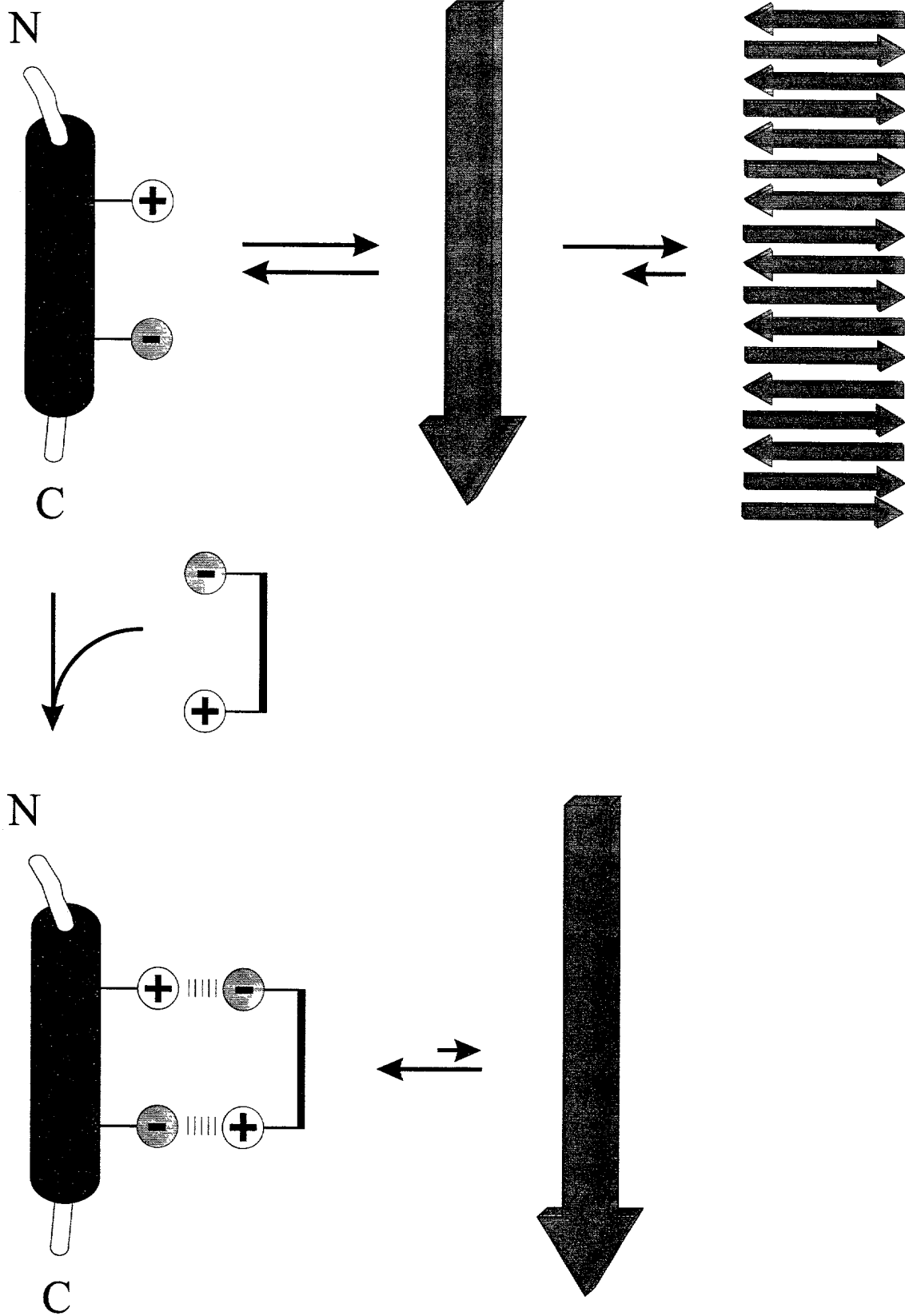


Fig. 12